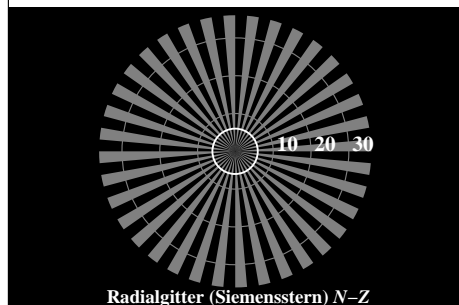


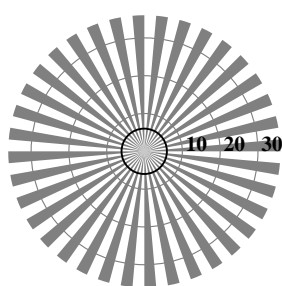
Radialgitter (Siemensstern) N-W



Radialgitter (Siemensstern) W-N

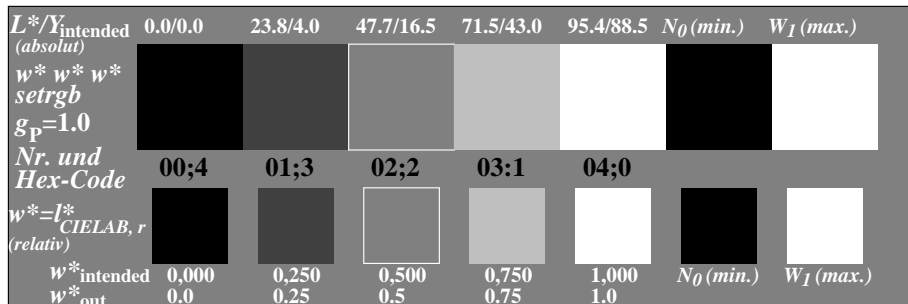


Radialgitter (Siemensstern) N-Z

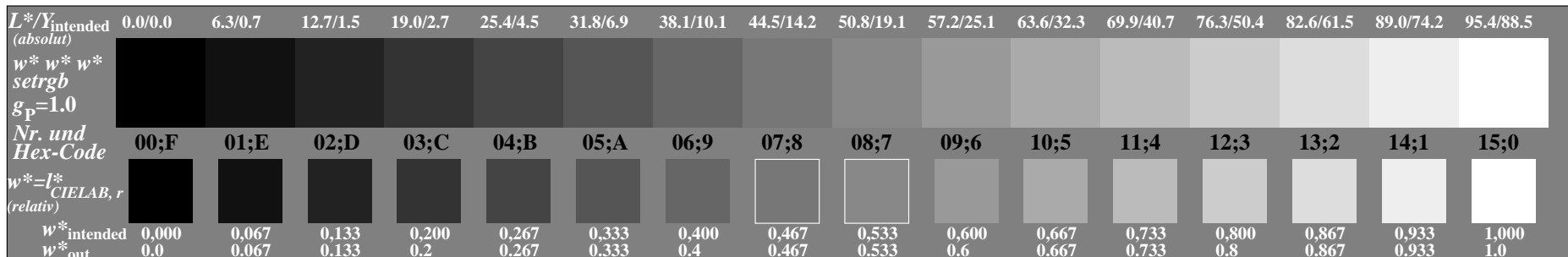


Radialgitter (Siemensstern) W-Z

OG510-3N, Bild A1-130-0: Radialgitter N-W, W-N, N-Z, W-Z; PS-Operator: $w^* w^* w^* \text{setrgbcolor}$



OG510-5N, Bild A2-130-0: 5 gleichabständige L^* -Graustufen+ N_0 + W_1 ; PS-Operator: $w^* w^* w^* \text{setrgbcolor}$



OG510-7N, Bild A3-130-0: 16 visuell gleichabständige L^* -Graustufen; PS-Operator: $w^* w^* w^* \text{setrgbcolor}$

OG51: ähnlich MG16 nach ISO 9241-306; 1MR, DH

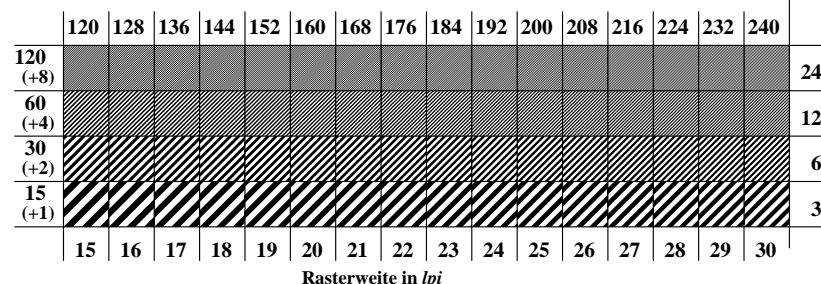
Gesehener Y-Kontrast $Y_W:Y_N=88,9:0,31$; Y_N -Bereich 0,0 to <0,46
Ausgabe 130-0: $g_p=1.0$; $g_N=1.0$

Umfeldstufe	0	7	E	2	8	F
Hex-Code						
Ringstufe	0-1	7-8	E-F	2-0	8-6	F-D
Hex-Code						

Landoltringe W-N

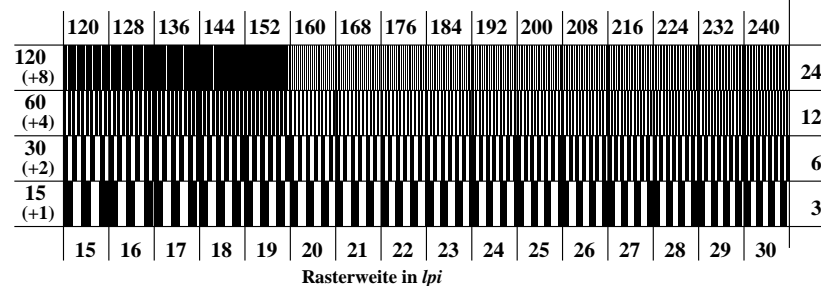
Code: Umfeld-Ring

OG511-1N, Bild A4-130-0: Landoltringe W-N; PS-Operator: $w^* w^* w^* \text{setrgbcolor}$



Rasterweite in lpi

OG511-3N, Bild A5-130-0: Linienraster unter 45° (oder 135°); PS-Operator: $w^* w^* w^* \text{setrgbcolor}$



Rasterweite in lpi

OG511-5N, Bild A6-130-0: Linienraster unter 90° (oder 0°); PS-Operator: $w^* w^* w^* \text{setrgbcolor}$